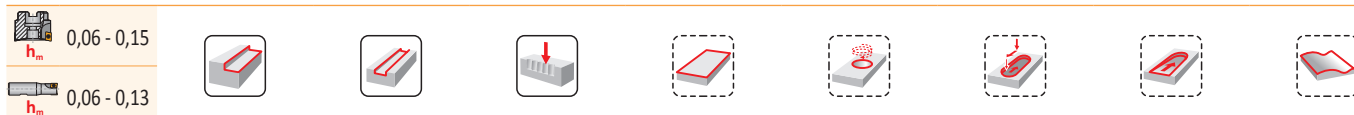
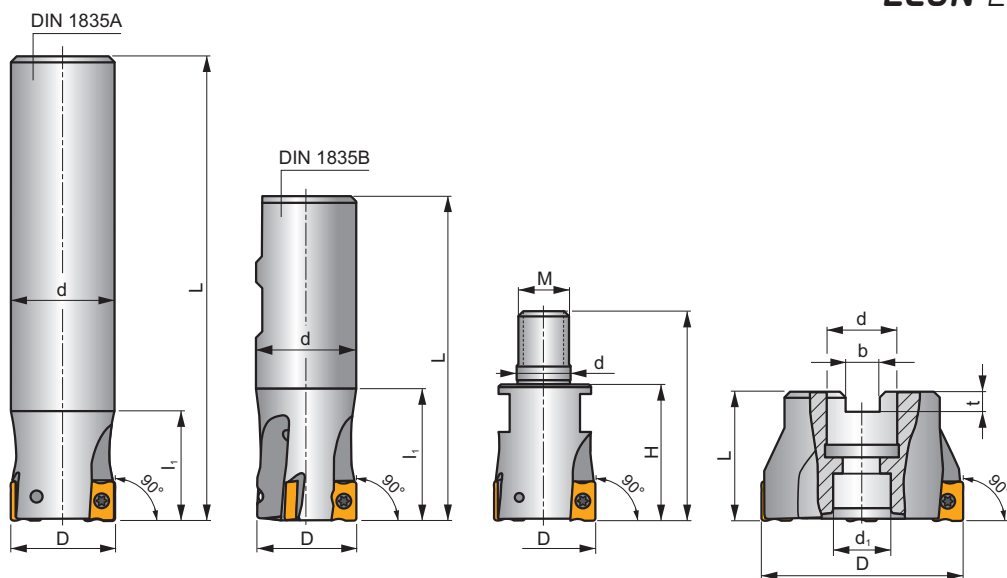
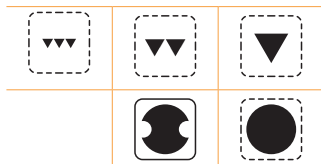
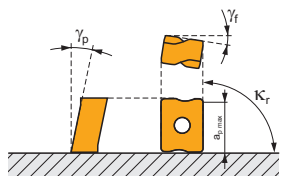


SLN12

P M K N S H



K_r	90°
a_{pmax}	9,0 mm



ISO	D	L	d	d ₁	l ₁	H	M	b	t	γ_i°	γ_p°			max.		kg			
25A2R034A25-SLN12-C	25	170	25	-	34	-	-	-	-	-23	-8	2	-	19500	✓	0,58	GI205	SQ340	-
25A2R080A25-SLN12-C	25	170	25	-	80	-	-	-	-	-23	-8	2	-	19500	✓	0,51	GI205	SQ340	-
32A2R034A32-SLN12-C	32	195	32	-	34	-	-	-	-	-15	-6	2	-	17300	✓	1,05	GI205	SQ340	-
32A2R090A32-SLN12-C	32	195	32	-	90	-	-	-	-	-15	-6	2	-	17300	✓	0,98	GI205	SQ340	-
25A2R042B25-SLN12-C	25	99	25	-	42	-	-	-	-	-23	-8	2	-	19500	✓	0,30	GI205	SQ340	-
32A3R042B32-SLN12-C	32	103	32	-	42	-	-	-	-	-15	-6	3	-	17300	✓	0,50	GI205	SQ340	-
40A4R050B32-SLN12-C	40	111	32	-	50	-	-	-	-	-15	-6	4	✓	15500	✓	0,62	GI205	SQ340	-
25A2R033M12-SLN12-C	25	55	12,5	-	-	33	-	-	-	-22	-6	2	-	-	✓	0,12	GI205	SQ340	-
32A2R043M16-SLN12-C	32	66	17	-	-	43	-	-	-	-15	-6	2	-	-	✓	0,22	GI205	SQ340	-
32A3R043M16-SLN12-C	32	66	17	-	-	43	-	-	-	-15	-6	3	-	-	✓	0,23	GI205	SQ340	-
40A3R043M16-SLN12-C	40	66	17	-	-	43	-	-	-	-15	-6	3	-	-	✓	0,30	GI205	SQ340	-
40A04R-S90LN12-C	40	40	16	14	-	-	-	8,4	5,6	-15	-6	4	✓	15500	✓	0,23	GI205	SQ342	-
50A04R-S90LN12-C	50	40	22	18	-	-	-	10,4	6,3	-14,5	-6	4	✓	13800	✓	0,35	GI205	SQ343	-
50A05R-S90LN12-C	50	40	22	18	-	-	-	10,4	6,3	-14,5	-6	5	✓	13800	✓	0,11	GI205	SQ343	-
63A04R-S90LN12-C	63	40	22	18	-	-	-	10,4	6,3	-14	-6	4	✓	12300	✓	0,55	GI205	SQ343	-
63A06R-S90LN12-C	63	40	22	18	-	-	-	10,4	6,3	-14	-6	6	✓	12300	✓	0,50	GI205	SQ343	-
80A05R-S90LN12-C	80	50	27	38	-	-	-	12,4	7,0	-14	-6	5	✓	10900	✓	1,18	GI205	SQ341	AC001
80A07R-S90LN12-C	80	50	27	38	-	-	-	12,4	7,0	-14	-6	7	✓	10900	✓	1,02	GI205	SQ341	AC001
100A06R-S90LN12-C	100	50	32	45	-	-	-	14,4	8,0	-14	-6	6	✓	9800	✓	1,78	GI205	SQ341	AC002
100A08R-S90LN12-C	100	50	32	45	-	-	-	14,4	8,0	-14	-6	8	✓	9800	✓	2,01	GI205	SQ341	AC002
110A06R-S90LN12-C	110	50	32	45	-	-	-	14,4	8,0	-14	-6	6	✓	9300	✓	2,09	GI205	SQ341	AC002
125A07R-S90LN12-C	125	63	40	56	-	-	-	16,4	9,0	-14	-6	7	✓	8700	✓	3,44	GI205	SQ341	AC003
125A09R-S90LN12-C	125	63	40	56	-	-	-	16,4	9,0	-14	-6	9	✓	8700	✓	3,38	GI205	SQ341	AC003

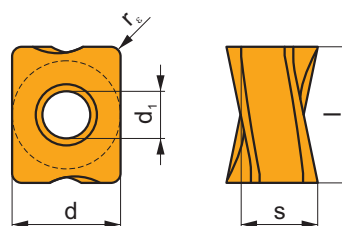
GI205	LNGX 1205..	LNGU 1205..

SQ340	US 44012-T15P	3,5	M 4	12	-	-	Flag T15P	-
SQ341	US 44012-T15P	3,5	M 4	12	D-T08P/T15P	FG-15	-	-
SQ342	US 44012-T15P	3,5	M 4	12	D-T08P/T15P	FG-15	-	HS 0830C
SQ343	US 44012-T15P	3,5	M 4	12	D-T08P/T15P	FG-15	-	HS 1030C

AC001	KS 1230	K.FMH27
AC002	KS 1635	K.FMH32
AC003	KS 2040	K.FMH40

LNGX 12

	d	d ₁	l	s
1205	9,500	4,50	12,00	5,96

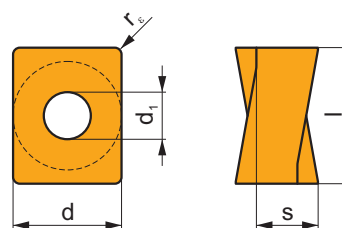


		ISO		P	M	K	N	S	H			r _ε	f _{min}	f _{max}	a _{p min}	a _{p max}
		LNGX 120504ER-F	M8330	■	▣	▣	□	□	□	●	-	0,4	0,04	0,15	0,2	9,0
			M8340	■	▣	▣	□	□	□	●	+/-	0,4	0,04	0,15	0,2	9,0
			8215	■	▣	▣	□	□	□	●	-	0,4	0,04	0,15	0,2	9,0
		LNGX 120508ER-F	M8310	■	▣	▣	□	□	□	●	-	0,8	0,04	0,15	0,2	9,0
			M8330	■	▣	▣	□	□	□	●	-	0,8	0,04	0,15	0,2	9,0
			M8340	■	▣	▣	□	□	□	●	+/-	0,8	0,04	0,15	0,2	9,0
		LNGX 120504ER-M	M8330	■	□	■	□	□	□	●	-	0,4	0,05	0,25	0,2	9,0
			M8340	■	□	▣	□	□	□	●	+/-	0,4	0,05	0,25	0,2	9,0
			LNGX 120508ER-M	M9315	■	□	▣	□	□	□	●	---	0,8	0,05	0,15	0,2
		LNGX 120510ER-M	M9325	■	□	□	□	□	□	●	---	0,8	0,05	0,15	0,2	9,0
			M9340	▣	□	□	□	□	□	●	---	0,8	0,05	0,15	0,2	9,0
			M8310	■	□	■	□	□	□	●	-	0,8	0,05	0,25	0,2	9,0
		LNGX 120512ER-M	M8330	■	□	■	□	□	□	●	-	0,8	0,05	0,25	0,2	9,0
			M8340	■	□	▣	□	□	□	●	+/-	0,8	0,05	0,25	0,2	9,0
			M8230	■	□	■	□	□	□	●	-	0,8	0,05	0,25	0,2	9,0
		LNGX 120516ER-M	M8330	■	□	■	□	□	□	●	-	1,0	0,05	0,25	0,2	9,0
			M8340	■	□	▣	□	□	□	●	+/-	1,0	0,05	0,25	0,2	9,0
			M8330	■	□	■	□	□	□	●	-	1,2	0,05	0,25	0,2	9,0
		LNGX 120520ER-M	M8340	■	□	▣	□	□	□	●	+/-	1,2	0,05	0,25	0,2	9,0
			M8330	■	□	■	□	□	□	●	-	1,6	0,05	0,25	0,2	9,0
			M8340	■	□	▣	□	□	□	●	+/-	1,6	0,05	0,25	0,2	9,0
		LNGX 120520ER-M	M8310	■	□	■	□	□	□	●	-	2,0	0,05	0,25	0,2	9,0
			M8330	■	□	■	□	□	□	●	-	2,0	0,05	0,25	0,2	9,0
			M8340	■	□	▣	□	□	□	●	+/-	2,0	0,05	0,25	0,2	9,0

		ISO		P	M	K	N	S	H			r_c	f_{min}	f_{max}	$a_{p min}$	$a_{p max}$
 	 	LNGX 120508SR-R	M5315	■	■	■	□	□	□	●	---	0,8	0,15	0,27	1,0	9,0
			M9315	■	■	■	□	□	□	●	---	0,8	0,15	0,27	1,0	9,0
			M9325	■	□	■	□	□	□	●	---	0,8	0,15	0,27	1,0	9,0
			M9340	■	□	■	□	□	□	●	---	0,8	0,15	0,27	1,0	9,0
			M8310	■	□	■	□	□	□	●	-	0,8	0,15	0,35	1,0	9,0
			M8330	■	□	■	□	□	□	●	-	0,8	0,15	0,35	1,0	9,0
			M8340	■	□	■	□	□	□	●	+/-	0,8	0,15	0,35	1,0	9,0
			8215	■	□	■	□	□	□	●	-	0,8	0,15	0,35	1,0	9,0
 	 	LNGX 120516SR-R	M9325	■	□	■	□	□	●	---	1,6	0,15	0,27	1,0	9,0	
			M8330	■	□	■	□	□	●	-	1,6	0,15	0,35	1,0	9,0	
			M8340	■	□	■	□	□	●	+/-	1,6	0,15	0,35	1,0	9,0	
			8215	■	□	■	□	□	●	-	1,6	0,15	0,35	1,0	9,0	
 	 	LNGX 120504ER-MF	M9340	■	■	■	□	□	●	---	0,4	0,04	0,13	0,3	9,0	
			M6330	■	■	■	□	□	●	-	0,4	0,04	0,15	0,3	9,0	
		LNGX 120508ER-MF	M8340	■	■	■	□	□	●	+/-	0,4	0,04	0,15	0,3	9,0	
			M9340	■	■	■	□	□	●	---	0,8	0,04	0,13	0,3	9,0	
			M6330	■	■	■	□	□	●	-	0,8	0,04	0,15	0,3	9,0	
			M8340	■	■	■	□	□	●	+/-	0,8	0,04	0,15	0,3	9,0	
 	 	LNGX 120508SR-MM	M9340	■	■	■	□	□	●	---	0,8	0,08	0,17	0,3	9,0	
			M6330	■	■	■	□	□	●	-	0,8	0,08	0,20	0,3	9,0	
			M8340	■	■	■	□	□	●	+/-	0,8	0,08	0,20	0,3	9,0	
			M8345	■	■	■	□	□	●	+/-	0,8	0,08	0,20	0,3	9,0	

LNGU 12

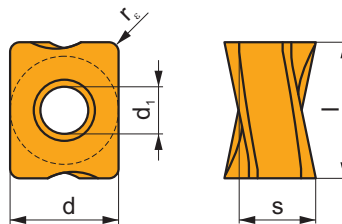
	d	d ₁	l	s
1205	9,500	4,50	12,00	5,96



		ISO		P	M	K	N	S	H			r_c	f_{min}	f_{max}	$a_{p min}$	$a_{p max}$
 	 	LNGU 120525ER-M	M8330	■	□	■	□	□	□	●	-	2,5	0,05	0,25	0,2	9,0
			M8340	■	□	■	□	□	□	●	+/-	2,5	0,05	0,25	0,2	9,0
		LNGU 120530ER-M	M8330	■	□	■	□	□	□	●	-	3,0	0,05	0,25	0,2	9,0
			M8340	■	□	■	□	□	□	●	+/-	3,0	0,05	0,25	0,2	9,0

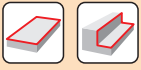
LNGX 12-FA

	d	d ₁	l	s
1205	9,500	4,50	12,00	5,96



		ISO		P	M	K	N	S	H			r _ε	f _{min}	f _{max}	a _{p min}	a _{p max}
		LNGX 120504FR-FA	HF7	<input type="checkbox"/>	<input type="checkbox"/>	<input type="checkbox"/>	<input type="checkbox"/>	<input type="checkbox"/>	<input type="checkbox"/>	<input checked="" type="checkbox"/>	+/-	0,4	0,03	0,35	0,2	9,0
		LNGX 120508FR-FA	M0315	<input type="checkbox"/>	<input type="checkbox"/>	<input type="checkbox"/>	<input type="checkbox"/>	<input type="checkbox"/>	<input type="checkbox"/>	<input checked="" type="checkbox"/>	++	0,8	0,03	0,35	0,2	9,0
			HF7	<input type="checkbox"/>	<input type="checkbox"/>	<input type="checkbox"/>	<input type="checkbox"/>	<input type="checkbox"/>	<input type="checkbox"/>	<input checked="" type="checkbox"/>	+/-	0,8	0,03	0,35	0,2	9,0

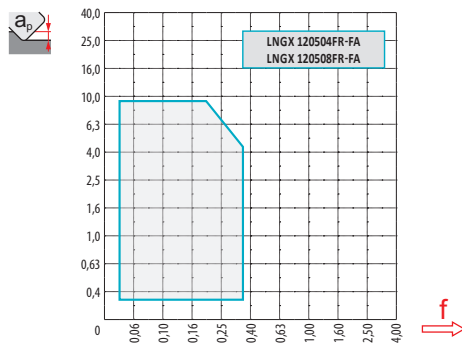
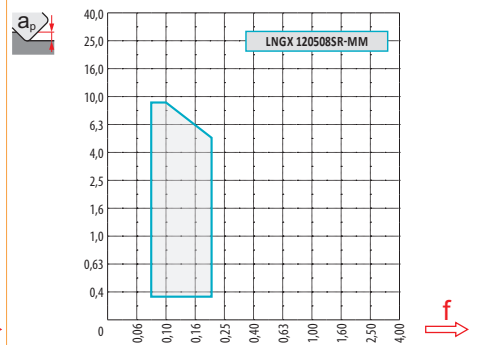
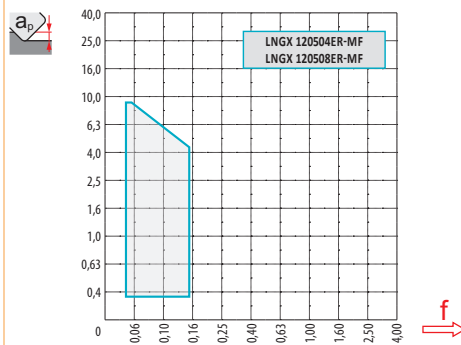
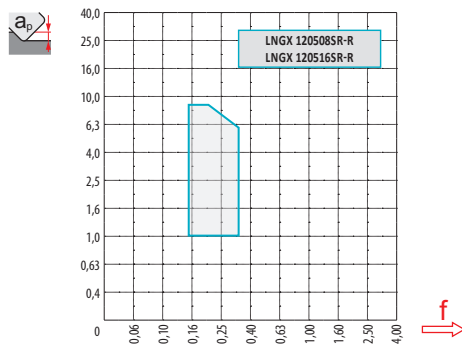
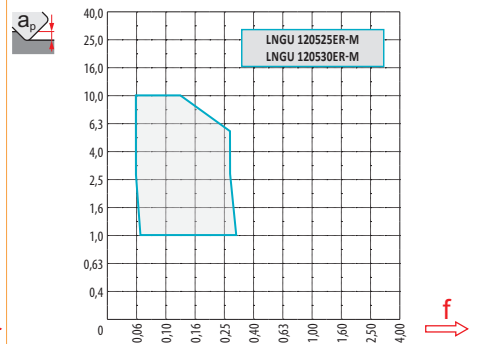
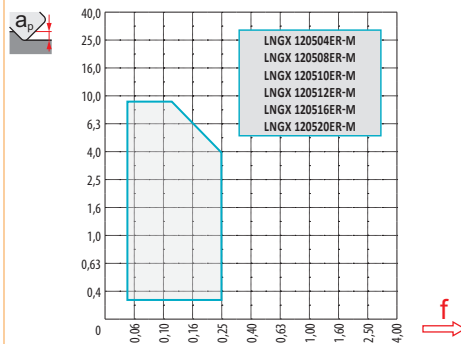
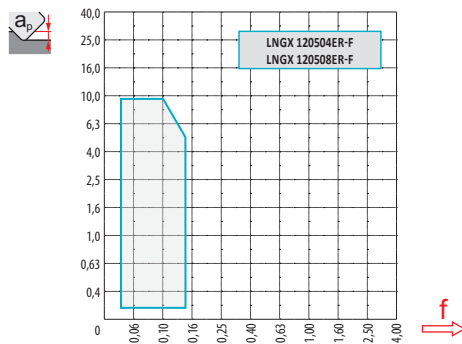
ISO	f _{min}	f _{max}	M5315	M9315	M9325	M9340	M0315	M6330	M8310	M8330	M8340	M8345	8215	8230	HF7	
P		0,05	0,20	326	326	289	259	-	221	274	260	236	188	259	248	-
		0,05	0,15	304	296	255	233	-	199	248	232	210	165	229	221	-
		0,05	0,10	278	270	225	206	-	173	221	201	184	146	203	191	-
M		0,05	0,20	-	-	146	154	-	158	139	153	139	113	154	146	60
		0,05	0,15	-	-	131	139	-	139	124	138	124	98	139	131	53
		0,05	0,10	-	-	113	124	-	120	113	122	109	86	120	116	45
K		0,05	0,20	311	311	-	-	-	-	259	248	225	-	244	236	98
		0,05	0,15	289	281	-	-	-	-	236	221	199	-	218	210	86
		0,05	0,10	266	255	-	-	-	-	210	193	173	-	191	184	75
N		0,05	0,20	-	-	-	-	570	-	-	654	-	-	645	623	255
		0,05	0,15	-	-	-	-	510	-	-	583	-	-	578	555	229
		0,05	0,10	-	-	-	-	446	-	-	508	-	-	510	484	199
S		0,05	0,20	-	-	71	75	-	79	68	75	68	56	75	71	30
		0,05	0,15	-	-	64	68	-	68	60	67	60	49	68	64	26
		0,05	0,10	-	-	56	60	-	60	56	59	53	41	60	56	23
H		0,05	0,20	64	64	-	-	-	-	53	49	-	-	49	49	19
		0,05	0,15	60	56	-	-	-	-	49	41	-	-	45	41	15
		0,05	0,10	53	53	-	-	-	-	41	38	-	-	38	38	15



a_e/D	0,05	0,10	0,15	0,20	0,25	0,30	0,40	0,50	0,60	0,70	0,75	0,80	0,90	1,00
	1,48	1,35	1,27	1,22	1,19	1,16	1,11	1,08	1,05	1,03	1,00	1,00	1,00	1,00
	2,87	2,05	1,69	1,48	1,33	1,23	1,09	0,75	0,94	0,90	0,89	0,88	0,88	1,00
	0,64	0,64	0,64	0,64	0,64	0,65	0,65	0,67	0,68	0,71	0,72	0,74	0,79	1,00

	LNGX 12-F		LNGX 12-M						LNGU 12-M	
r_ϵ	0,4	0,8	0,4	0,8	1,0	1,2	1,6	2,0	2,5	3,0
a	2,29	1,89	2,29	1,89	1,69	1,49	1,09	0,68	0,87	0,36

	LNGX 12-R		LNGX 12-MF		LNGX 12-MM	LNGX 12-FA	
r_ϵ	0,8	1,6	0,4	0,8	0,8	0,4	0,8
a	1,88	1,08	2,28	1,88	1,88	2,30	1,89





7,6



1,0 5,0 9,0



0,19 0,13 0,08



LNGX 12

	α_{\max}° 	a_p/l
25	1,3	2,1/100
32	0,7	1,1/100
40	0,5	0,7/100
50	0,4	0,5/100
63	0,2	0,3/100
80	0,2	0,2/100



LNGX 12

	d_{\min}	d_{\max}		
25	35,0	50,0	0,7	1,7
32	49,0	64,0	0,6	1,2
40	65,0	80,0	0,6	1,0
50	85,0	100,0	0,7	1,0
63	111,0	126,0	0,6	0,8
80	145,0	160,0	0,7	0,8



0,2



		3	5	10	15	20	30	40	50	60	80	100
25		0,548	0,707	1,000	1,225	1,414	1,732	2,000	2,236	2,449	2,828	3,162
32		0,620	0,800	1,131	1,386	1,600	1,960	2,263	2,530	2,771	3,200	3,578
40		0,693	0,894	1,265	1,549	1,789	2,191	2,530	2,828	3,098	3,578	4,000
50		0,775	1,000	1,414	1,732	2,000	2,449	2,828	3,162	3,464	4,000	4,472
63		0,869	1,122	1,587	1,944	2,245	2,750	3,175	3,550	3,888	4,490	5,020
80		0,980	1,265	1,789	2,191	2,530	3,098	3,578	4,000	4,382	5,060	5,657

r_{ϵ} 		3	5	10	15	20	30	40	50	60	80	100
1,6		0,196	0,253	0,358	0,438	0,506	0,620	0,716	0,800	0,876	1,012	1,131
2,0		0,219	0,283	0,400	0,490	0,566	0,693	0,800	0,894	0,980	1,131	1,265
2,5		0,245	0,316	0,447	0,548	0,632	0,775	0,894	1,000	1,095	1,265	1,414
3,0		0,268	0,346	0,490	0,600	0,693	0,849	0,980	1,095	1,200	1,386	1,549